

# 河岸生态护坡措施水土保持效益的模拟试验研究

周千里<sup>1</sup>, 杨建英<sup>1,2</sup>, 梁淑娟<sup>1</sup>, 张成梁<sup>3</sup>

(1. 北京林业大学 水土保持学院, 北京 100083;

2. 水土保持与荒漠化防治教育部重点实验室, 北京 100083; 3. 轻工业环境保护研究所, 北京 100089)

**摘要:** [目的] 研究不同河岸生态护坡措施的减流、减沙和抑制养分流失的效果, 并筛选出较优配置的河流生态护坡模式, 为华北地区生态治河实践提供参考。[方法] 采用人工降雨试验, 测定模拟河流岸坡不同植被护坡措施的径流量、产沙量、养分流失量, 分析不同雨强、不同坡度、不同植被措施条件下的减流、减沙和减少养分流失效果; 通过主成分分析对9个不同措施试验槽的减流、减沙和减少养分流失效果进行评价。[结果] 高羊茅减流减沙效果最优, 小冠花减少养分流失效果最优。河岸坡30°、堤顶坡度小于0°的岸坡宜采用高羊茅进行防护; 河岸坡45°、堤顶坡度18°的岸坡宜采用小冠花进行防护; 河岸坡45°、堤顶坡度0°的岸坡宜采用高羊茅进行防护。[结论] 综合来看高羊茅减流减沙效果最好, 小冠花次之; 小冠花减少养分流失效果最好, 紫穗槐次之。

**关键词:** 人工模拟降雨; 河流岸坡; 生态护坡; 试验研究

文献标识码: A

文章编号: 1000-288X(2016)06-0015-06

中图分类号: S157.2

文献参数: 周千里, 杨建英, 梁淑娟, 等. 河岸生态护坡措施水土保持效益的模拟试验研究[J]. 水土保持通报, 2016, 36(6): 015-020. DOI: 10.13961/j.cnki.stbctb.2016.06.003

## Simulated Research on Soil and Water Conservation Benefits of Riparian Ecological Slope Protection Measures

ZHOU Qianli<sup>1</sup>, YANG Jianying<sup>1,2</sup>, LIANG Shujuan<sup>1</sup>, ZHANG Chengliang<sup>3</sup>

(1. College of Soil and Water Conservation, Beijing Forestry University, Beijing 100083, China;

2. Key Lab. of Soil and Water Conservation and Desertification Combating, Ministry of Education,

Beijing 100083, China; 3. Environmental Protection Research Institute of Light Industry, Beijing 100089, China)

**Abstract:** [Objective] Appropriate measures on riverbank slope were significant for soil and water conservation, water purification, and the health of riparian ecosystem. Artificial rainfall experiment was used to study the dynamics of runoff, sediment yield and nutrient loss. [Methods] The effects of rainfall intensity, slope gradient and protective measures were analyzed. Altogether, nine experimental plots were set and principal component analysis method was used to find the slope protection design which produced the best protective effect. [Results] Tall fescue was most effective on runoff and sediment reduction, while crown vetch had the largest effect in reducing nutrient loss. On slopes with riparian gradient of 30° or 45°, and with 0° or less crest, tall fescue should be used for slope protection. On slope with gradient of 45° and crest of 18°, Crown varia was appropriate for slope protection. [Conclusion] Tall fescue was most effective on runoff and sediment reduction, followed by crown vetch. Crown vetch was the most effective on reducing nutrient loss.

**Keywords:** artificial rainfall; river bank; ecological slope protection; experimental investigation

生态护坡是为防止土壤侵蚀和稳固保护坡面采用活植物、活植物与土木工程措施或非生命材料结合的一种新型护坡模式<sup>[1]</sup>。其目的是为了重建受破坏的河岸生态系统, 恢复固坡、截污等生态功能。河岸生态护坡采取植物为主、工程为辅的形式相对于传统

护坡具有保护生物多样性、改善栖息地、净化污水等优势<sup>[2]</sup>。河流岸坡作为河流生态系统的重要组成部分, 适宜的岸坡防护措施, 有利于固持土体, 阻截泥沙, 防止污染物成分进入水体, 对于减轻河道淤积、减轻河流污染和水体富营养化具有重要作用<sup>[3]</sup>。

在我国,关于生态护坡技术的应用较早,但相关研究跟进较晚<sup>[4]</sup>,目前所开展的研究多局限于生态护坡的定义、机理、功能的定性描述,对于不同生态护坡措施生态效果的定量研究则较少<sup>[5]</sup>。

本研究在考虑植物品种、河岸坡度、堤顶坡度 3 大因素对于生态护坡效果的影响的基础上,采用人工模拟降雨试验对模拟河流岸坡不同生态护坡措施的减流、减沙和抑制养分流失的效果进行研究,其中堤顶坡度因素的引入目前还尚不多见,进而采用主成分分析,筛选出较优配置的河流生态护坡模式,以期为华北地区生态治河实践提供参考。

## 1 材料与方法

### 1.1 试验区概况

北京市位于华北平原西北端,属于典型暖温带半湿润大陆性季风气候,夏季炎热多雨。年平均日照时数 2 624 h,平均气温 10~12 ℃,平均降水量 600~700 mm,降水季节分布不均匀,75%集中在夏季。北京市主要河流有永定河、潮白河、京杭运河、拒马河等。因为实际河岸不具备试验条件,故采用模拟河流岸坡进行人工模拟降雨侵蚀试验。试验地位于北京市昌平区的轻工业环境保护研究所生态修复试验基地,年平均气温 10.6 ℃,平均降水量 653 mm,土壤质地为沙质壤土。

### 1.2 岸坡、堤顶的模拟及布设

用于模拟河坡的长方体铁皮侵蚀槽规格为 1.5 m(长)×0.8 m(宽)×0.35 m(深);模拟堤顶的长方体过水槽,规格 0.3 m(长)×0.8 m(宽)×0.35 m(深);用于汇集径流的 V 形集流槽规格 0.2 m×0.8 m×0.35 m。模拟河坡的侵蚀槽和模拟堤顶的过水槽均进行填土处理。填充土取自北京市昌平区轻工业环境保护研究所生态修复试验基地,土壤质地为沙质壤土,经测定 pH 值为 7.64,有机质含量 4.723 g/kg,全氮含量为 2.473 g/kg,碱解氮含量为 19.057 mg/kg。将原状土与含氮、磷、钾、有机质分别为 12%,5%,8%,25% 的有机无机复合肥以质量比 500:1 均匀混合,填土深度 0.3 m,然后用木板轻微击实,击实后测得地表密实度为 65%,壤中 25 cm 处密实度为 75%。

### 1.3 试验布设

植物品种选择北京地区常用河岸护坡植物小冠花、高羊茅和紫穗槐;河岸坡度和堤顶坡度的参数均按照北京地区常见河岸坡度和堤顶坡度设置详见(表 1)。

试验用植物的栽种是在模拟河坡侵蚀槽中栽种护坡植被,种子浸泡 24 h 后,小冠花 20 g/m<sup>2</sup>,高羊茅

50 g/m<sup>2</sup> 均匀撒播。紫穗槐容器苗 5 列 5 行每试验区均匀栽种 25 棵。从植物栽种到降雨试验开始,植物生长周期约为 80 d。植物生长状况良好,坡面分布均匀。采用上部搭设遮雨棚的方式阻挡天然降雨,采用人工洒水壶均匀喷洒浇灌植物,以防止降水对坡面冲刷和产生径流使营养物质流失。

表 1 试验设计

区号	植物品种	岸坡坡度	堤顶坡度
1	1 小冠花	1(15°)	1(小于 0°)
4	1 小冠花	2(30°)	2(0°)
7	1 小冠花	3(45°)	3(18°)
2	2 紫穗槐	1(15°)	2(0°)
5	2 紫穗槐	2(30°)	3(18°)
8	2 紫穗槐	3(45°)	1(小于 0°)
3	3 高羊茅	1(15°)	3(18°)
6	3 高羊茅	2(30°)	1(小于 0°)
9	3 高羊茅	3(45°)	2(0°)

### 1.4 人工模拟降雨

人工模拟降雨发生装置为针头式,降雨高度可在 4~6 m 范围调整,本试验采用 4 m 降雨高度,有效降雨面积 1.80 m×1.80 m。人工模拟降雨特性主要包括降雨强度和降雨均匀度<sup>[6]</sup>,开展试验前首先对降雨器的相关参数进行标定。

1.4.1 降雨强度 通过流量计和控制试验水压来标定降雨强度<sup>[7]</sup>,即在一定时间内流量计记录数据,通过降雨强度换算公式获得不同压力下的降雨强度。经试验标定当雨强为 74.25~522.2 mm/h 时,对雨强和压力进行回归分析结果显示雨强和压力具有较好的线性相关性( $R^2=0.9429$ )。

1.4.2 降雨均匀度率定 用 8 个相同规格(500 ml)的烧杯按照 323,44,332 这 3 种不同摆设方式放置在降雨区同一水平面上,秒表计时 2 min,根据接取的雨量结合均匀度公式计算均匀度。一般认为均匀度  $K \geq 80\%$  表示均匀性好<sup>[8]</sup>,可以满足试验要求。当供水压力在 0.04~0.2 MPa 即降雨强度为 74.2~522.2 mm/h 时,均匀度均在 80% 以上。降雨强度和均匀度均随供水压力的增大呈现增加的趋势,说明降雨器运行过程中性能稳定<sup>[9]</sup>。

### 1.5 试验方法

9 个试验区拆除上部遮雨棚后进行降雨强度为 90 mm/h 的人工降雨,人工降雨器周围设置遮风围挡,防止风对试验的影响。持续时间均为 1 h,降雨前 10 min 不进行数据采集。10 min 后用采集盒每

5 min采集1次地表径流和壤中流。取样后称重,取上层清液用于水样测定。剩余泥水风干后称量泥沙重量。各试验区休养放置7 d后,再次采用同样的方法对9个试验区进行降雨强度为200 mm/h的人工降雨试验。泥沙、水样的养分委托北京市环境科学研究院测定,泥沙全氮和碱解氮分别采用碱熔—钼锑抗比色法和碱解—扩散法测定,径流氮素和溶解性总氮分别采用TOC测定仪和碱性过硫酸钾氧化—紫外分光光度计法测定。

## 2 结果与分析

### 2.1 不同植物防护岸坡径流量

不同植被防护岸坡地表流和壤中流试验结果如图1所示。降雨通过入渗进入土层,当降雨量大于降雨入渗速率时会产生地表径流。由图1试验结果可知,15°~45°河坡坡度,90 mm/h降雨条件下,3种植被措施的地表径流量集中在5~10 L,壤中流量集中

在1~2.5 L。紫穗槐地表流量大于高羊茅和小冠花,约高出1.7~5 L;小冠花地表流量又大于高羊茅。紫穗槐壤中流量最少,高羊茅和小冠花壤中流量差异不大,小冠花略低。表明90 mm/h降雨条件下,高羊茅对地表径流具有较好的减流效果,小冠花次之。15°~45°河坡坡度、200 mm/h降雨条件下,3种植被的地表径流量集中在42~75 L,壤中流量集中在9~26 L。

地表流随岸坡坡度的增大呈较为显著的增大趋势,紫穗槐的地表流量高出高羊茅和小冠花8~21 L,小冠花地表流量大于高羊茅,高羊茅壤中流量略高于其他两种植物,紫穗槐壤中流量最少。200 mm/h降雨条件下,同样为高羊茅和小冠花对地表径流有较好的减流作用。综合2种雨强的径流量结果,高羊茅对地表径流有比较好的减流作用,小冠花次之,紫穗槐最差;与地表流相反,地表流减流效果越好,其壤中流流量越大。

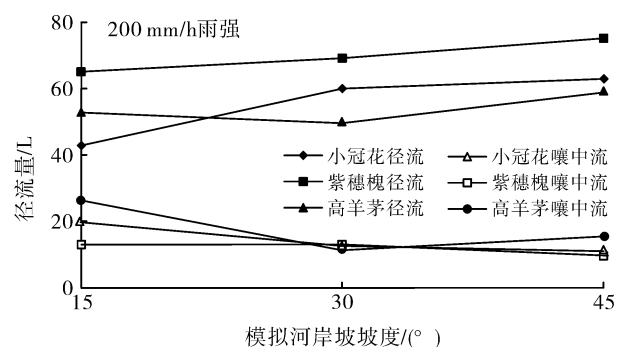
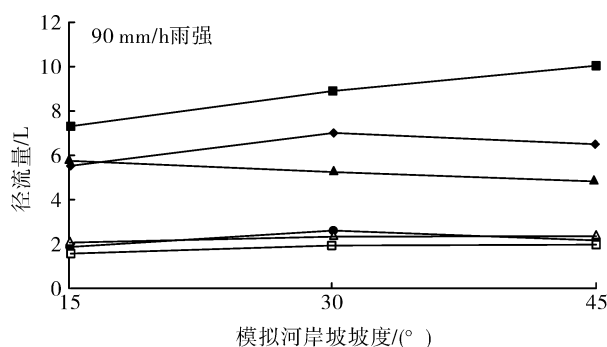


图1 不同植被防护岸坡的径流量

### 2.2 不同植被防护岸坡产沙量

不同植被防护岸坡产沙量如图2所示。伴随地表径流,岸坡表面土粒被剥蚀和运移,进而产生径流泥沙。由图2可知,15°~45°河坡坡度,90 mm/h降雨条件下,泥沙量集中在0.05~0.25 kg。紫穗槐泥沙量大于小冠花和高羊茅,高出0.05~0.2 kg;小冠

花泥沙量又大于高羊茅。15°~45°河坡坡度、200 mm/h降雨条件下,泥沙量集中在0.3~3.3 kg。紫穗槐泥沙量高出其他2种植被1.1~3 kg,小冠花泥沙量又大于高羊茅。综合2种雨强泥沙量结果,高羊茅对地表径流泥沙的拦截作用最优,小冠花次之,紫穗槐较差。

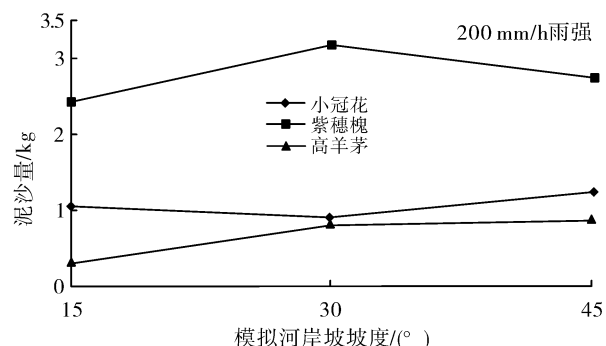
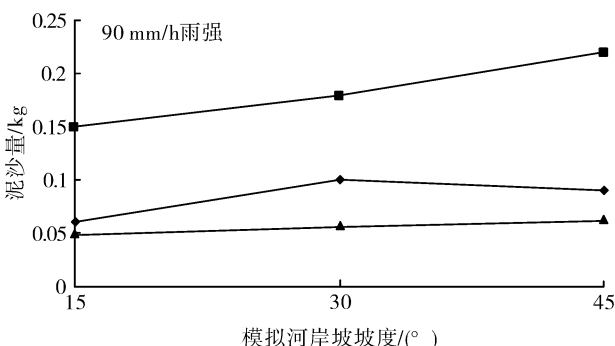


图2 不同植被防护岸坡的泥沙量

### 2.3 不同植被防护岸坡养分流失量

地表积累的污染物(含氮营养物、有机物、泥沙等)随着雨水的冲刷,以泥水的形式流入河流造成水体污染。本研究选取径流泥沙中的碱解氮、全氮和径流中的氮素、溶解性总氮 4 项指标反映养分流失情况。

#### 2.3.1 不同植被防护岸坡泥沙中碱解氮和全氮含量

由图 3 可知,15°~45°河坡坡度,90 mm/h 降雨条件下,地表径流泥沙的碱解氮浓度集中在 20~47 mg/kg。高羊茅地表径流泥沙的碱解氮浓度高出紫穗槐 2~20 mg/kg,高出小冠花 6~27 mg/kg。200 mm/h 雨强下地表径流泥沙的碱解氮浓度集中在 32~59 mg/kg。高羊茅地表径流泥沙的碱解氮浓

度略高于其他 2 种植物,其中小冠花径流泥沙的碱解氮含量最低。故两种降雨强度下小冠花减少径流泥沙中碱解氮流失效果最优,紫穗槐次之。由图 4 可知,90 mm/h 雨强下地表径流泥沙全氮含量集中在 20~47 mg/kg。高羊茅地表径流泥沙的全氮含量高出紫穗槐 2~20 mg/kg,高出小冠花 6~27 mg/kg。200 mm/h 雨强下地表径流泥沙全氮含量集中在 1.6~3.2 g/kg。高羊茅地表径流泥沙的全氮含量高于其他 2 种植物,小冠花径流泥沙的全氮含量略低于紫穗槐。故 2 种降雨强度下小冠花减少径流泥沙中全氮流失效果最优,紫穗槐次之。综合图 4—5 所示结果,小冠花和紫穗槐抑制径流泥沙中碱解氮、全氮流失的效果明显,其中小冠花最优,紫穗槐次之。

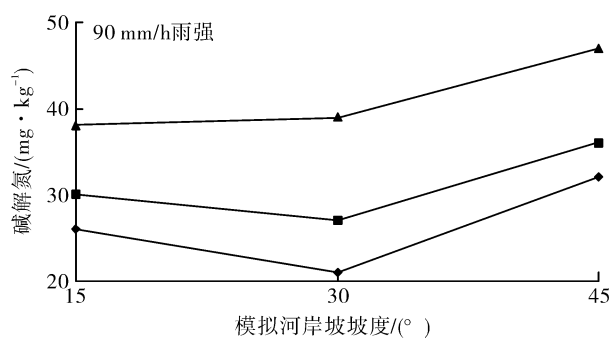


图 3 不同植防护被岸坡泥沙中碱解氮含量

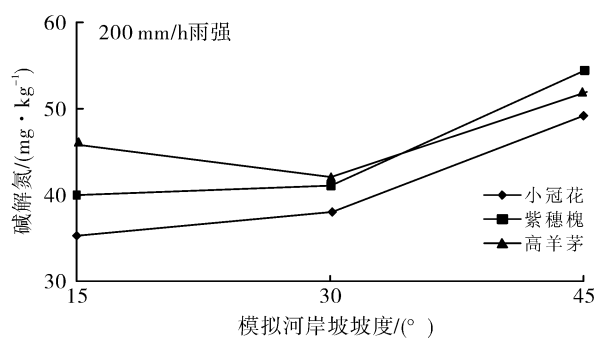


图 3 不同植防护被岸坡泥沙中碱解氮含量

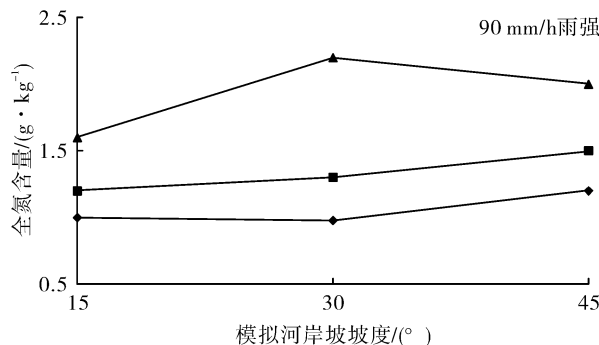
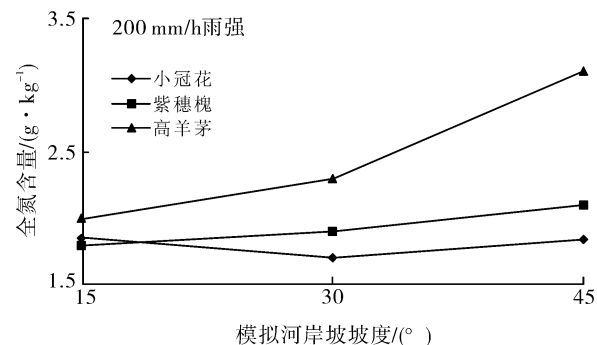


图 4 不同植被防护岸坡泥沙中全氮含量



2.3.2 不同植被防护岸坡径流中溶解性总氮和氮素含量 由图 5 可知,90 mm/h 雨强下地表径流的溶解性总氮含量集中在 5.3~8 g/ml,壤中流的溶解性总氮含量集中在 3.9~7.8 g/ml。高羊茅地表径流和壤中流的溶解性总氮含量高于其他两种植物,小冠花地表径流的溶解性总氮含量略低于紫穗槐,两者之间壤中流的溶解性总氮含量差别不明显。

200 mm/h 雨强下地表径流溶解性总氮含量集中在 4.9~10 g/ml,壤中流溶解性总氮含量集中在 7.8

~9.5 g/ml。小冠花和紫穗槐地表径流溶解性总氮含量均略低于高羊茅。壤中流的溶解性总氮含量小冠花最低,其他 2 种植物壤中流的溶解性总氮含量差别不大。综合两种降雨强度的径流的溶解性总氮含量结果,小冠花减少径流的溶解性总氮含量效果最好,紫穗槐次之。由图 6 可知,90 mm/h 雨强下地表径流的氮素含量集中在 10.2~15.8 g/ml,壤中流的溶解性总氮含量集中在 10.9~15.5 g/ml。高羊茅地表径流和壤中流的氮素含量高于其他 2 种植物,小

冠花地表径流和壤中流的氮素含量略低于紫穗槐。200 mm/h雨强下地表径流氮素含量集中在15.1~18.1 g/ml,壤中流氮素含量集中在14.2~19 g/ml。小冠花和紫穗槐地表径流溶氮素含量均低于高羊茅。

高羊茅壤中流的氮素含量最高,小冠花壤中流的氮素含量最低。综合两种降雨强度的径流的氮素含量结果,小冠花减少径流的氮素含量效果最好,紫穗槐次之。

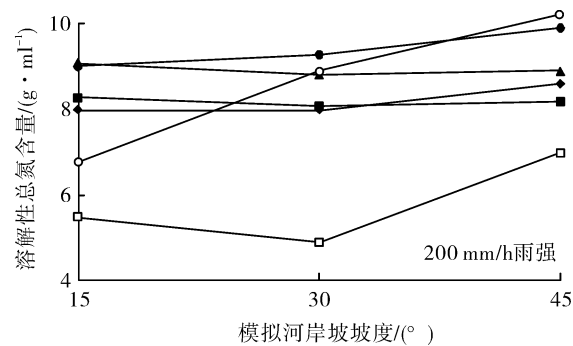
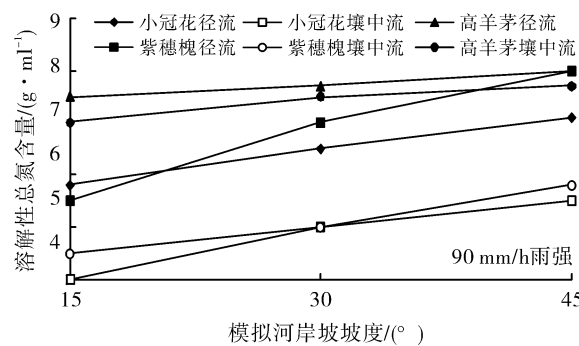


图5 不同植被防护岸坡地表径流、壤中流溶解性总氮含量

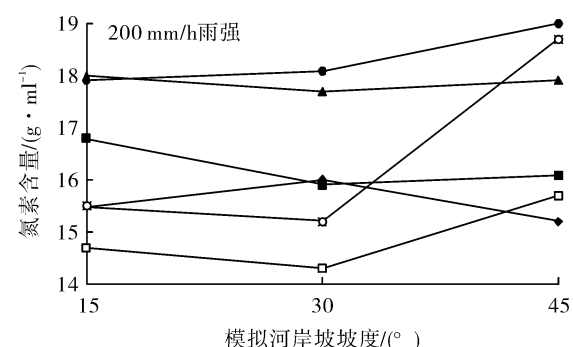
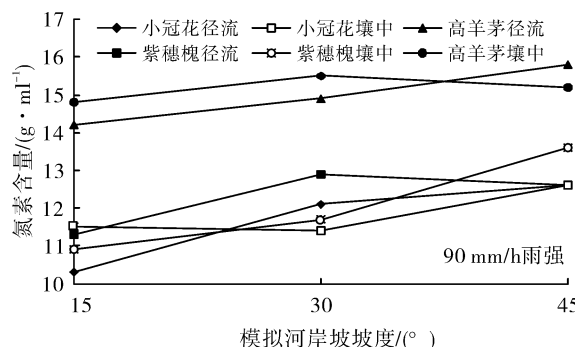


图6 不同植被防护岸坡地表径流、壤中流中氮素含量

## 2.4 减流减沙和抑制养分流失综合评价

用主成分分析法对1—9号试验槽径流量、泥沙量、流失泥沙中的碱解氮、全氮、地表径流和壤中流的氮素、溶解性总氮数据进行统计分析。经KMO检验统计量取值0.580,宜作因子分析;经Bartlett球形检验统计量 $\text{sig} < 0.01$ ,小于显著性水平0.05,因此可以做主成分分析<sup>[10]</sup>,结果如表2—3所示。由表3可得,提取出了3个公因子,累积贡献率分别是

38.614%,63.247%和81.479%,各成分特征值大于1。

由表4可得,第1主成分因子变量对径流氮素和溶解性总氮有较高的正载荷,第2主成分因子变量对泥沙量和径流量有较高的正载荷,第3主成分对全氮有较高的正载荷<sup>[11-15]</sup>。由此可见,3种主成分分别综合反映了不同植被防护岸坡抑制径流氮素流失、减流减沙、抑制泥沙全氮流失的作用。

表2 主成分分析解释的总方差结果

成分	初始特征值			提取平方和载入			旋转平方和载入		
	合计	方差/%	累积/%	合计	方差/%	累积/%	合计	方差/%	累积/%
1	2.471	41.182	41.182	2.471	41.182	41.182	2.317	38.614	38.614
2	1.393	23.218	64.400	1.393	23.218	64.400	1.478	24.633	63.247
3	1.025	17.080	81.479	1.025	17.080	81.479	1.094	18.232	81.479
4	0.613	10.209	91.688						
5	0.446	7.428	99.116						
6	0.053	0.884	100.000						

表 3 成分得分系数矩阵

变量因子	成分		
	1	2	3
泥沙量	-0.094	0.432	-0.197
径流量	0.086	0.623	0.042
径流氮素	0.415	-0.033	-0.096
溶解性总氮	0.418	-0.018	-0.152
碱解氮	0.287	0.342	0.235
全氮	-0.113	-0.052	0.903

注:采用 Kaiser 标准化的正交旋转法,旋转在 5 次迭代后收敛。

将方差贡献率作为权重,求主成分综合指数  $y$  表达式为:

$$y = 0.3861y_1 + 0.2463y_2 + 0.1823y_3 \quad (1)$$

根据式(1)求得各试验槽地表和壤中试验参数的综合分值,对各试验槽护坡措施的综合评价结果详见表 4。根据综合排名,效果较好的为 6,7,9 号试验槽,较差的为 4,2,5 号试验槽。综合效果排序为 6, 7, 9, 3, 1, 8, 4, 2, 5 号。6 和 9 号为高羊茅护坡效果较好,4 和 7 号为小冠花护坡效果优劣不一,2 和 5 号为紫穗槐护坡效果较差。

表 4 试验区各类护坡生态效益效果的主成分分析综合指数

试验区号	土壤层次	$y_1$	$y_2$	$y_3$	综合指数 $y$	平均综合指数 $Y$	综合排名
1	地表	-0.56296	1.93184	-0.7141	0.13	-0.075	5
	壤中	0.16314	-0.69009	-0.95153	-0.28		
2	地表	-0.93254	2.09933	-0.94320	-0.01	-0.430	8
	壤中	-1.09770	-1.0284	-0.95655	-0.85		
3	地表	-1.40966	0.25595	3.03852	0.07	0.145	4
	壤中	0.44892	-0.57249	1.00333	0.22		
4	地表	-0.01982	0.51141	-0.22241	0.08	-0.265	7
	壤中	-0.52393	-1.28141	-0.48363	-0.61		
5	地表	-1.07706	-0.32003	0.83768	-0.34	-0.600	9
	壤中	-1.08009	-0.98768	-1.11249	-0.86		
6	地表	1.87124	0.05511	0.49924	0.83	0.760	1
	壤中	1.92974	-0.54377	0.41264	0.69		
7	地表	1.48258	1.20309	-0.38756	0.80	0.395	2
	壤中	0.08911	-0.01001	-0.22308	-0.01		
8	地表	0.14691	-0.66955	0.28608	-0.06	-0.085	6
	壤中	0.49723	-0.86253	-0.50368	-0.11		
9	地表	0.24795	1.00252	0.58088	0.45	0.165	3
	壤中	-0.17306	-0.09327	-0.16015	-0.12		

### 3 结论

(1) 地表径流减流效果越好,其壤中流流量越大。高羊茅对地表径流泥沙的拦截作用最优,小冠花次之,紫穗槐较差。高羊茅和小冠花的地表径流量较紫穗槐径流量低 20%,泥沙量低 50%以上。即草本植物高羊茅、小冠花减流减沙效果优于灌木紫穗槐。小冠花抑制泥沙中的碱解氮、全氮和径流中的氮素、溶解性总氮流失的效果最好,紫穗槐次之。即固氮植物小冠花和紫穗槐对于抑制养分流失效果优于非固氮植物高羊茅。综合来看高羊茅减流减沙效果最好,小冠花次之;小冠花减少养分流失效果最好,紫穗槐次之。

(2) 通过主成分分析法对 1—9 号试验槽径流

量、泥沙量、流失泥沙中的碱解氮、全氮、地表径流和壤中流的氮素、溶解性总氮数据进行统计分析,可知河岸坡 30°、堤顶坡度小于 0° 的岸坡宜采用高羊茅进行防护;河岸坡 45°、堤顶坡度 18° 的岸坡宜采用小冠花进行防护;河岸坡 45°、堤顶坡度 0° 的岸坡宜采用高羊茅进行防护。由于河岸坡度越高地表径流量和泥沙量越大,所以 9 个模拟岸坡试验槽中岸坡 30° 和 45° 的试验槽采用减流减沙效果较好的高羊茅进行防护效果比较好。小冠花虽然减流减沙效果次于高羊茅,但其减少养分流失效果最优,所以综合效果较好。

(3) 本研究条件有限只设置了 9 个模拟试验槽,若能设置更多不同配置的试验槽,或直接在实际的河岸坡上布设试验,可得到更多有价值的结果。

(下转第 25 页)

# 伊犁河谷不同草地类型坡面水土保持效应的 模拟降雨试验

仲亚婷<sup>1</sup>, 张文太<sup>2</sup>, 黄俊华<sup>1</sup>, 张佩佩<sup>2</sup>, 张少博<sup>3</sup>, 王飞<sup>4</sup>

(1. 新疆农业大学 林学与园艺学院, 新疆 乌鲁木齐 830052;  
2. 新疆土壤与植物生态过程实验室 新疆农业大学 草业与环境科学学院, 新疆 乌鲁木齐 830052;  
3. 新疆农业大学 林业研究所, 新疆 乌鲁木齐 830052; 4. 新疆伊犁哈萨克自治州水利局, 新疆 伊宁 835000)

**摘要:** [目的] 研究一定降雨条件下, 伊犁河谷地区3个不同草地类型径流小区的减流减沙效果, 以期为该区的水土保持工作提供借鉴。[方法] 采用野外人工模拟降雨的方法。[结果] (1) 几种草地类型初始产流时间的长短依次为: 角果藜>伊犁蒿>狗牙根>裸地; (2) 径流速率由大到小依次为: 裸地>伊犁蒿>狗牙根>角果藜; (3) 泥沙含量由大到小依次为: 裸地>伊犁蒿>狗牙根>角果藜; (4) 狗牙根减流因子的数值处于0.21~0.58之间, 伊犁蒿的减流因子处于0.14~0.87之间, 角果藜的减流因子则在0.02~0.11之间, 狗牙根减沙因子的数值在0.16~0.76之间, 角果藜的减沙因子处于0~0.42之间, 伊犁蒿的减沙因子则在0.42~0.88之间。[结论] 水土保持效益最好的是角果藜, 其次为狗牙根与伊犁蒿, 裸地效果最差。

**关键词:** 伊犁河谷; 模拟降雨; 草地类型; 水土流失

文献标识码: A

文章编号: 1000-288X(2016)06-0021-05

中图分类号: S157.2

文献参数: 仲亚婷, 张文太, 黄俊华, 等. 伊犁河谷不同草地类型坡面水土保持效应的模拟降雨试验[J]. 水土保持通报, 2016, 36(6): 021-025. DOI: 10.13961/j.cnki.stbctb.2016.06.004

## Experimental Study on Soil and Water Conservation Effects of Different Grasslands with Simulated Rainfall in Yili River Valley

ZHONG Yating<sup>1</sup>, ZHANG Wentai<sup>2</sup>, HUANG Junhua<sup>1</sup>, ZHANG Peipei<sup>2</sup>, ZHANG Shaobo<sup>3</sup>, WANG Fei<sup>4</sup>

(1. College of Forestry and Horticulture, Xinjiang Agricultural University, Urumqi, Xinjiang 830052,  
China; 2. Xinjiang Soil Plant and Ecological Processes Laboratory, Grassland and Environmental Sciences of  
Xinjiang Agricultural University, Urumqi, Xinjiang 830052, China; 3. Forestry Research Institute of Xinjiang Agricultural University,  
Urumqi, Xinjiang 830052, China; 4. Xinjiang Yili Kazak Autonomous Prefecture's Water, Yining, Xinjiang 835000, China)

**Abstract:** [Objective] The reduction effects of runoff and sediment in 3 different grasslands runoff plots were observed under certain rainfall condition in Yili river valley, to provide references for soil and water conservation in the area. [Methods] Method of field artificial rainfall was used. [Results] (1) The occurrences of initial runoff the several grasslands ranked as: *Pod quinoa*>*Yili Artemisia*>*Bermuda grass*>bare land; (2) The runoff of rate ranked as: bare land > *Yili Artemisia*>*Bermuda grass*>*Pod quinoa*; (3) The sediment concentration ranked as: bare land>*Yili Artemisia*>*Bermuda grass*>*Pod quinoa*; (4) The values of flow reduction factor of *Pod quinoa*, *Bermuda grass* and *Yili Artemisia* were 0.02~0.11, 0.21~0.58 and 0.14~0.87. The values of sediment reduction factor of *Bermuda grass*, *Pod quinoa* and *Yili Artemisia* were 0.16~0.76, 0~0.42 and 0.42~0.88. [Conclusion] *Pod quinoa* got the best benefit for soil and water conservation, followed by *Yili Artemisia* and *Bermuda grass*, bare land performed the worst.

**Keywords:** Yili river valley; simulated rainfall; grassland types; soil and water loss

新疆地区是全国水土流失较严重的地区之一。新疆水土流失的总面积已达 $8.7 \times 10^4 \text{ km}^2$ , 其中轻度侵根据全国各省份水力侵蚀强度分级面积统计显示, 新蚀面积为 $6.4 \times 10^4 \text{ km}^2$ , 强烈侵蚀面积为 $2.5 \times 10^3$

$\text{km}^2$ <sup>[1]</sup>。而伊犁河谷又是新疆水土流失最为严重的地区之一。伊犁河谷的水土流失面积已达  $3.7 \text{ km}^2$ , 占新疆水土流失总面积的 43%<sup>[2]</sup>。因此, 在新疆这个水土保持工作相对薄弱的地区, 进行水土流失的试验与研究就显得尤为重要。长期以来, 国内外许多学者在植被减蚀作用方面开展了大量研究。德国土壤学家沃伦是利用野外试验小区研究植被影响的第一人, 他发现植被能防止土壤侵蚀, 由此揭开了人类利用林草植被措施控制水土流失的序幕<sup>[3]</sup>。侯喜禄等<sup>[4]</sup>通过径流小区试验, 对比了不同沙打旺草地的水保效益。熊运阜等<sup>[5]</sup>通过野外径流小区的实测资料分析, 得出了不同质量的梯田、林地、草地的蓄水保土效益及草地的覆盖度与土壤侵蚀量的关系。罗伟祥等<sup>[6]</sup>在陕西永寿县设置径流试验小区, 对比研究了人工刺槐林与人工草地的水土保持特性, 结论为: 人工林地 > 人工草地。史银志<sup>[7]</sup>则对伊宁市北山坡的土壤侵蚀特性进行过预报模型研究, 通过分析数据发现, 植被覆盖度越大, 土壤侵蚀程度越小。王大庆<sup>[8]</sup>则对新疆天池自然保护区产流产沙情况进行过试验研究, 得出径流速率与产沙量的大小为: 裸地 > 落叶林 > 雪岭云杉。桑盛国<sup>[9]</sup>也对新疆山区流域的植被保水效果进行过探讨, 发现油松林、沙棘林、云杉林和草类等植物对土壤的抗冲击性排序为: 油松林 > 草类 > 沙棘。虽然前人的研究有一定的参考价值, 但在新疆境内, 尤其是伊犁地区该方面的研究成果还非常少。通过广大学者的研究还发现, 采用野外模拟降雨法研究植被水保效应的较少, 对不同草地类型条件下的土壤侵蚀研究较少。所以本研究通过野外模拟降雨试验, 在以往研究的基础上, 分析这 3 种不同的草地类型对产流、入渗、产沙过程的影响, 以期在理论上为全面理解植被与土壤侵蚀的关系提供参考, 为合理地评价 3 种草地类型的生态效应提供依据, 同时在实践上为伊犁河谷地区草地资源的合理利用提供科学指导。

## 1 材料与方法

### 1.1 研究区概况

伊犁河谷位于中国天山山脉西部, 北、东、南 3 面环山, 构成“三山夹两谷”的地貌轮廓, 地处  $80^{\circ}09' - 84^{\circ}56' \text{E}$ ,  $42^{\circ}14' - 44^{\circ}50' \text{N}$ 。伊犁河谷气候温和湿润, 属于温带大陆性气候, 年平均气温  $10.4^{\circ}\text{C}$ , 年平均日照时数 2 870 h, 年蒸发量  $1\,410 - 1\,887 \text{ mm}$ , 无霜期  $150 - 179 \text{ d}$ , 年均降水量  $205.8 - 512.1 \text{ mm}$ , 山区达  $600 \text{ mm}$ , 是整个新疆最湿润的地区。河谷内土壤侵蚀和土地退化较为严重, 主要有水力侵蚀、重力侵蚀和风力侵蚀, 因此, 做好此地区的水土保持工作非常关键<sup>[10]</sup>。

### 1.2 径流小区

野外人工模拟降雨试验于 2015 年 8 月在伊宁市巴彦岱镇水利局附近的径流小区进行, 数据测量和分析工作于 9 月完成。试验选在铁场沟流域的巴彦岱镇内, 该区域有标准径流小区 16 座, 年均降水量为  $257.5 \text{ mm}$ , 年平均气温为  $8.4^{\circ}\text{C}$ 。流域位于铁厂沟流域, 流域平均坡度为  $12^{\circ}$ , 地貌类型为低山丘陵区, 土壤主要为灰钙土, 土壤侵蚀多为风力与水力侵蚀<sup>[11]</sup>。该区的草地类型是多年旱生的丛生禾草与半灌木, 草层平均高度为  $38 \text{ cm}$ , 保水性较差, 易侵蚀, 植被恢复难度也较大。

### 1.3 试验设计方法

本试验采用的便携式全自动人工模拟降雨装置 QYJY-501(西安清远测控技术有限公司生产)由 3 种规格的喷头组合降雨, 从而形成从小到大的雨强。为了能与伊犁地区的平均降雨量相符, 使用最小的那个喷头来模拟降雨, 通过连续调整, 把雨强控制在  $37 \text{ mm/h}$ 。人工模拟降雨装置的降雨均匀系数  $> 0.8$ , 降雨高度为  $2 \text{ m}$ 。在野外试验过程中, 根据当地自然环境的特点, 同时依据草地类型、坡度等立地条件, 在山坡上设置径流小区。本研究选择 4 个自然小区进行人工模拟降雨试验, 每个径流小区都在斜坡上, 试验坡度为  $12^{\circ}$ , 降雨面积设定在  $1 \text{ m}^2$  之内。选择狗牙根(*Cynodon dactylon*)、角果藜(*Ceratocarpus arenarius*)、伊犁蒿(*Artemisia transitiensi*)作为供试植物, 并和裸地进行对比。根据实地调研和资料反映的来看, 所选小区里的这几种植物可以基本代表伊犁河谷区域典型的草地类型。其中狗牙根的株高为  $10 - 30 \text{ cm}$ , 对径流坡面的覆盖度为 70%; 角果藜株高为  $5 - 30 \text{ cm}$ , 对坡面的覆盖度为 80%; 伊犁蒿株高为  $40 - 80 \text{ cm}$ , 对坡面的覆盖度为 60%(表 1)。试验前期土壤含水量: 降雨后为 17%, 降雨前为 4%。

降雨时间定为 1 h, 每场降雨时间间隔为 10 min。整个试验均在无风条件下进行, 为防止雨滴飘浮, 降雨区还须架设风障。在所有径流小区坡下都安装了管道, 管道下置大型铁罐, 铁罐内放有水桶。在人工降雨过程中, 应注意观察其产流时间, 当产流开始后, 每隔 4 min 用事先编好号的 200 ml 瓶子从水桶内收集 1 次径流产物, 一般情况采集 15 个样本。记录每个小区的初始产流时间, 以及每 4 min 的产流量, 直至降雨结束, 用来测定径流速率与减流因子。(减流因子 = 某种植被的径流速率/裸地的径流速率)。最后将采集的所有样本带回实验室进行含沙量的测定。

采用烘干法测定产沙量<sup>[12]</sup>。选用一定数量的烧杯, 标好号后依次称重。将采样瓶中的样品充分摇匀, 用量筒量取一定体积后全部倒入烧杯中, 把采样

瓶和量筒用水冲洗干净,冲洗物也要一并倒入烧杯中。将所有烧杯放入烘箱,在105℃恒温下烘干至恒重,随后将烧杯移入干燥皿中冷却至常温,进而称重。运用公式计算含沙量与减沙因子。减沙因子=某种植被的含沙量/裸地的含沙量。含沙量=(烘干后重量-烧杯重量)/样本的体积,单位为g/ml。

表1 径流小区基本情况

小区编号	坡度/(°)	降雨面积/m <sup>2</sup>	植被类型	株高/cm	覆盖度/%
02	12	1	角果藜	5~30	80
05	12	1	狗牙根	10~30	70
07	12	1	伊犁蒿	40~80	60
09	12	1	无	0	0

## 2 结果与分析

### 2.1 不同的草地类型与产流时间的关系

不考虑其他外界因素的影响,产流时间越长,说明这种植物涵蓄水源、拦截降雨、固沙与保持水土的能力越强,更要对这种类型的植物进行重视<sup>[13]</sup>。角果藜的初始产流时间最长。因为是第一场降雨,风吹、架桶均有影响,加上土壤结构良好、团粒含量较高、土壤入渗速率较大,再者角果藜对径流小区的覆盖度相对较大且其发达的根系对土壤颗粒具有缠绕固结作用,所以,延缓了产流时间<sup>[14]</sup>。狗牙根的初始产流时间略大于伊犁蒿,裸地的产流时间最短(表2)。狗牙根的枝叶稠密且光滑坚韧,匍匐茎平铺地面且扩展能力强,相对减少了降雨对径流小区的直接冲击,所以对产流的减缓作用稍大于伊犁蒿。裸地上面没有植被的覆盖,无法有效地拦截降雨,减少雨滴的击溅。足以证明一定植被的种植对保持水土、减少土壤流失有重要的作用。所以,初始产流时间的长短依次为:角果藜>伊犁蒿>狗牙根>裸地。

表2 3种草地类型和裸地的初始产流时间

草地类型	角果藜	狗牙根	伊犁蒿	裸地
产流时间	25'	5'04"	5'08"	3'24"

### 2.2 不同草地类型与径流速率的关系

角果藜的径流速率最小,随着时间的增加,变化趋于稳定;狗牙根的径流速率稍高于角果藜,且波动较小(图1)。因为相比较而言,角果藜和狗牙根的植被覆盖度较大。对于植被覆盖度较高的地表,植被对降雨进行截流的同时,其根系也可以使得土壤孔隙度增加,使得降雨下渗增强;另一方面,地表覆盖物可以有效地缓解雨滴对土壤表面的冲击,防止了对土壤表

层结构的破坏,因此,其径流速率明显变小。伊犁蒿和裸地的径流速率相对较高,且变化幅度较大。因为伊犁蒿对径流小区的覆盖度较小,覆盖度低的地表,对降雨的截留作用差,同时雨滴的打击作用也改变着地表的结构特征,使得土体结构较为密实,减少了下渗能力,使得径流速率较大<sup>[15]</sup>;而裸地小区无植物含蓄水源,土壤孔隙小且不易下渗,所以径流速率明显提升。在第16~36 min内,伊犁蒿的径流速率高于裸地(图1)。由于受地形及外部护栏的影响,产流时阻挡因素变小,且水渠较为平整,积水容易流出,加上风向的影响,雨降到旁边植被覆盖率低的位置上,所以地表径流量明显增大。通过图表,可以看出这几种草地类型径流速率的大小依次为:裸地>伊犁蒿>狗牙根>角果藜。最后,运用公式求其减流因子。得出角果藜减流因子的数值处于0.02~0.11之间,用同样方法算得狗牙根的减流因子处于0.21~0.58之间,伊犁蒿的减流因子则在0.14~0.87之间。所以,角果藜能在最大程度上减少径流,狗牙根次之,伊犁蒿最差。

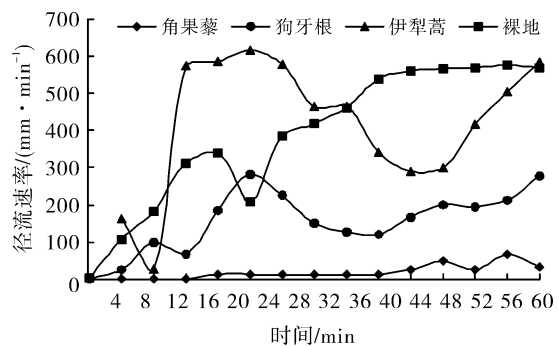


图1 3种不同的草地类型和裸地的径流速率

### 2.3 不同草地类型与含沙量的关系

角果藜产沙量最低,最高值仅为0.0011 g/ml,说明这种植被的减沙作用是非常有效的。因为其植被覆盖度是最大的,能够有效地拦截降雨,从而降低降雨能量,减少降雨侵蚀力。其次是狗牙根,初始含沙量相对较高,考虑到击溅情况的发生,泥沙容易被溅起,而随着时间增加,数值在逐渐变小,并回归平稳。伊犁蒿的泥沙含量在0.001与0.002 g/ml之间(图2)。相比前面介绍的2种草地类型来说,含沙量较多,其一,因为其植被覆盖度较低,水滴从冠层滴落到土壤表面时,动能较大,对土壤颗粒起到打击分散的作用;其二,考虑到一定自然因素的影响,昨天刚降过雨,土壤有一定含水量,容易被侵蚀,加之水流对地表的冲刷作用较高,泥沙容易产生。含沙量最大的是裸地小区(图2)。因为植被因子是影响土壤侵蚀的敏感性因子,没有植被的种植,无法有效拦截降雨并对降水进行再分配;没有植被根系的盘绕固结作用及

植被本身对水流的抵抗作用,径流中的泥沙量势必会提高;且植被的根系可以增加土壤的孔隙度,提高土壤的抗侵蚀能力,有利于降雨的入渗<sup>[16]</sup>。而所有的这些优势在裸地上实施人工降雨是不会发生的。足以说明不管是哪种类型的植被,它都有一定的水土保持作用。

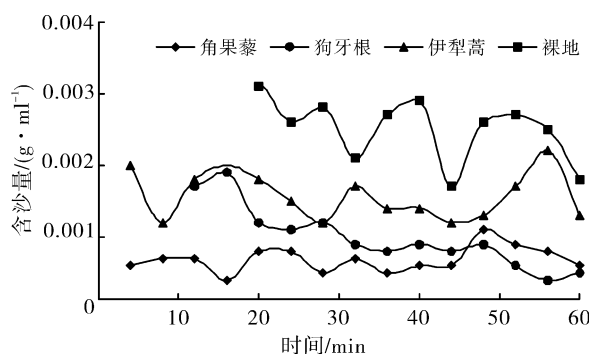


图 2 3 种不同的草地类型和裸地的含沙量

总之,这几种草地类型的含沙量大小依次为:裸地>伊犁蒿>狗牙根>角果藜。不难发现,3 种草地类型的累积产沙量呈现出随着径流量的增加而增加的趋势,相关性非常显著,且呈明显的正相关。最后,运用公式求其减沙因子:算出狗牙根减沙因子的数值在 0.16~0.76 之间,角果藜减沙因子的数值处于

0~0.42 之间,伊犁蒿的减沙因子则在 0.42~0.88 之间。所以,角果藜的减沙效果最好,狗牙根次之,伊犁蒿较差。

#### 2.4 疆内有关水流失文献的比较

众多学者的研究说明(表 3),不同草地类型的水土保持效应是不一样的。植被作为涵养水源,保持水土的影响因子,始终发挥着独特的作用。一般来说,枝叶繁茂,植被覆盖度大,根系分布较密的植被涵养水源的功能要好。所以,植被不同,水源涵养能力也不同<sup>[17]</sup>。

大量研究表明,不同的草地类型对土壤抗冲性的影响不一样。许多因素如:土壤紧实度、容重、团粒含量、渗透性、水分状况均对土壤的径流冲刷能力有重要影响。而这些因素的变化,皆受制于不同的草地类型,特别是植被根系的分布特征。因为,不同植被根系的盘绕固结作用及植物本身对水流的抵抗作用,会不同程度的增加水流运动的阻力,减弱水流对地表的冲刷能力<sup>[18]</sup>。不同的植被会不同程度的增加土壤的入渗率及孔隙度。植被不一样,对土壤理化性质的改变不同,使得土壤容重减小、渗透性能、孔隙度增加的程度也不一样。总之,草地类型不同,其固土保水作用也会不同<sup>[19]</sup>。

表 3 疆内有关水流失文献的研究结果和本研究的比较

研究地点	研究方法	土壤类型	植被类型/植被覆盖度	减流因子	减沙因子
伊宁市北山坡	数量化理论研究土壤侵蚀	灰钙土	乔灌木	0.43~0.85	0.54~0.76
		栗钙土	林地草灌	0.30~0.56	0.45~0.87
			农地草灌	0~0.34	0~0.25
新疆天池自然保护	定位观测实验	灰褐土	70% 覆盖度	0.50~0.70	0.60~0.84
			60% 覆盖度	0.23~0.50	0.60~0.72
伊犁河谷	人工模拟降雨实验	灰钙土	角果藜	0.02~0.11	0~0.42
			狗牙根	0.21~0.58	0.16~0.76
			伊犁蒿	0.14~0.87	0.42~0.88

### 3 讨论与结论

(1) 4 个径流小区的初始产流时间由大到小为:角果藜>伊犁蒿>狗牙根>裸地;坡面产沙量由大到小依次为:裸地>伊犁蒿>狗牙根>角果藜;径流速率由大到小依次为:裸地>伊犁蒿>狗牙根>角果藜。所以,水土保持效益最好的是角果藜,其次为狗牙根与伊犁蒿,裸地效果最差。

(2) 狗牙根减流因子的数值处于 0.21~0.58 之间,伊犁蒿的减流因子处于 0.14~0.87 之间,角果藜的减流因子则在 0.02~0.11 之间;狗牙根减沙因子的数值在 0.16~0.76 之间,角果藜的减沙因子处于

0~0.42 之间,伊犁蒿的减沙因子则在 0.42~0.88 之间。因此,角果藜、狗牙根、伊犁蒿减流与减沙效益的大小排序为:角果藜>狗牙根>伊犁蒿。

本试验采用人工模拟降雨技术,运用多种草地类型来研究伊犁河谷草地的水保效应,非常接近野外状态,数据获取较丰富,势必可为该地区的水土保持工作提供一定的借鉴。由于试验条件以及时间的限制,尚有以下问题有待进一步探讨。

(1) 本试验只研究了 1 种雨强、1 种土壤、1 种坡度下的试验小区径流与产沙规律,为了使试验更加完善,试用性更强,还应增加多个雨强、坡度,采用多种土壤类型进行研究。

(2) 本试验是在野外模拟降雨条件下进行,普遍存在降雨时间、降雨强度难以控制等因素,与天然降雨相比还是存在一定的差异。所以,在今后的研究中,势必要使野外模拟降雨与自然降雨相结合。

#### [参考文献]

- [1] 刘宝元,郭索彦,谢云,等.中国水力侵蚀抽样调查[J].中国水土保持,2013(10):27-32.
- [2] 杨龙,贺光华.伊犁河流域灌区水土流失防治对策[J].水利发展研究,2006,6(6):33-35.
- [3] 哈德逊土壤保持[M].窦葆璋,译.北京:科学出版社,1975.
- [4] 侯喜禄,曹清玉.陕北黄土丘陵沟壑区植被减沙效益研究[J].水土保持通报,1990,10(2):33-40.
- [5] 熊运阜,王宏兴,白志刚,等.梯田、林地、草地减水减沙效益指标初探[J].中国水土保持,1996(8):10-14.
- [6] 罗伟祥,白立强,宋西德,等.不同覆盖度林地和草地的径流量与冲刷量[J].水土保持学报,1990,4(1):30-34.
- [7] 史银志.基于人工模拟降雨的伊宁市北山坡土壤侵蚀特性试验及预报模型研究[D].新疆 乌鲁木齐:新疆农业大学,2008.
- [8] 王大庆.新疆天池自然保护区产流产沙试验研究[D].新疆 石河子:石河子大学,2009.
- [9] 桑盛国,张锐.新疆山区性流域植被措施水土保持探讨[J].水利科技与经济,2012,18(9):42-44,50.
- [10] Zhang Junmin. Study on the soil development rule in Yili river basin[J]. Journal of Shihezi University: Natural Science, 2005,23(5):583-587.
- [11] 陈正达,袁咏,张海峰.新疆伊犁哈萨克州水土流失现状及防治对策[J].水土保持应用技术,2003(2):18-20.
- [12] 付艳红,时铁彬,徐岩.含沙量测量方法及比较分析[J].东北水利水电,2010,28(9):35-36.
- [13] Ghidley F, Alberts E E. Plant root effects on soil erosion, splash detachment, and aggregate stability[J]. Transaction of the ASAE, 1997, 40(1):129-135.
- [14] 赵护兵,刘国彬,曹清玉.黄土丘陵区不同植被类型对水土流失的影响[J].水土保持研究,2004,11(2):153-155.
- [15] Liu Han, Lei Tingwu, Zhao Jun, et al. Effects of rainfall intensity and antecedent soil water content on soil infiltrate ability under rainfall condition using the run off-on-out method [J]. Journal of Hydrology, 2011,396(1/2):24-32.
- [16] 张清春,刘宝元,翟刚.植被与水土流失研究综述[J].水土保持研究,2002,9(4):96-101.
- [17] Chen Liding, Huang Zhilin, Gong Jie, et al. The effect of land cover/vegetation on soil waterdynamic in the hilly area of the Loess Plateau, China[J]. Catena, 2007,70(2):200-208.
- [18] 王秋生.植被控制土壤侵蚀的数学模型及其应用[J].水土保持学报,1991,5(4):68-72.
- [19] 任志远,刘焱序.西北地区植被保持土壤效应评估[J].资源科学,2013,35(3):610-617.

(上接第 20 页)

#### [参考文献]

- [1] Coppin N J, Richard I G. Use of Vegetation in Civil Engineering[M]. CIRIA: Butterworths, 1990.
- [2] 吕晶.京郊河流生态护岸水土保持效应及其健康评价[D].北京:北京林业大学,2010:2-5.
- [3] 唐国滔,姚焕致,胡湛波.生态护岸技术的研究及其发展趋势[J].水产科技情报,2010,37(4):198-199.
- [4] 张文虎,魏束强.生态护坡的发展及其应用要点[J].河北农业科学,2009,13(6):76-77.
- [5] 夏继红,严忠民,蒋传丰,等.河岸带生态系统综合评价指标体系研究[J].水科学进展,2005,16(3):345-346.
- [6] 吴光艳,祝振华,成婧,等.人工模拟降雨特性对坡面产流产沙量的影响研究[J].节水灌溉,2011(6):44-46.
- [7] 骆汉,赵廷宁,彭贤锋,等.公路边坡绿化覆盖物水土保持效果试验研究[J].农业工程学报,2013,29(5):63-70.
- [8] 徐向舟,张红武,董占地,等. SX2002 管网式降雨模拟装置的试验研究[J].中国水土保持,2006,26(4):8-10.
- [9] 王辉,王全九,邵明安.人工降雨条件下黄土坡面养分随径流迁移试验[J].农业工程学报,2006,22(6):39-43.
- [10] 傅德印.主成分分析中的统计检验问题[J].统计教育,2007(9):4-7.
- [11] 侯培强,任玉芬,王效科,等,北京市城市降雨径流水质评价研究[J].环境科学,2012,33(1):72-74.
- [12] 徐向舟,刘大庆,张红武,等.室内人工模拟降雨试验研究[J].北京林业大学学报,2006,28(5):53-54.
- [13] 高淑琴,李京善.人工模拟降雨装置性能试验[J].河北水利科技,1996,17(1):32-33.
- [14] 周林飞,郝利朋,孙中华.辽宁浑河流域不同土地类型地表径流和壤中流氮、磷流失特征[J].生态环境学报,2011,20(4):737-742.
- [15] 余海龙,顾卫.高速公路边坡生态护坡效果定量评价研究[J].水土保持通报,2011,31(1):203-204.